

信州大学教育学部

浅輪光男

1. 緒言 特に合金の電位-pH図を作る方法として、分極曲線を使ひ M. Pourbaix の実験的方法がある。本実験では、18-8ステンレス鋼のハロゲンイオンを含む H_2SO_4 溶液中の低pH域での電位-pH図をこの方法によって作製した。

2. 実験 試料は溶体化した18-8ステンレス鋼 ($C, 0.07; Si, 0.40; Mn, 1.14; P, 0.026; S, 0.006; Cr, 18.20; Ni, 8.73\%$) である、その表面を電解研磨した。試験環境は、 $1 \sim 20 N H_2SO_4$ とそれぞれ $10^{-3} N \sim$ 飽和 $NaCl$, $10^5 \sim 10^{-1} N NaBr$, $10^{-6} \sim 10^{-2} N NaI$ を含む $1 \sim 20 N H_2SO_4$ 溶液 ($25^\circ C$) である。(1) 溶液のpH測定は JIS Z 8802-1964に準じ、標準液は四塩酸カリウムを用いた。(2) 分極曲線の測定は定電位法により、電位移動速さは $50 mV/min$ である。(3) Pourbaix図の作製は電位-pH-電流密度の関係を推定して(図1)、その等電流密度線を用いた。ここでは immunity/corrosion と corrosion /passivity の境界線は $10^{-2} mA/cm^2$ と $1 mA/cm^2$ の等電流線を用い、pitting の境界線は図1の谷底に対応するようとした。

3. 結果 溶液のpHは、例えば $10^{-1} N$ のハロゲン化ナトリウムが含まれることによって $0.38 (1 N H_2SO_4) \rightarrow 0.32, -0.28 (4 N H_2SO_4) \rightarrow -0.32, -1.0 (10 N H_2SO_4) \rightarrow -1.06$ のように低下するが、 $20 N H_2SO_4$ のときは変化しない。 $H_2SO_4/NaCl$ 系の Pourbaix図を図2に示す。左側 ($10^{-2} mA/cm^2$) の図で $1 N \sim$ 飽和 $NaCl$ の場合、分極曲線は $10^{-2} mA/cm^2$ より高いため、図の passivity 域の一部も Corrosion 域である。また $10^{-2} mA/cm^2$ での immunity/corrosion 線は実験的に等しい程度腐食電位 E_{corr} に接近しているので、真の境界線はもっと負電位側に位置しているはずである。例えば $pH = -1 \sim -2, 0 \sim 10^{-2} N NaCl$ の場合、この線は Tafel 線から推定して、 $E_{corr} \pm 40 mV$ だけ負側に存在する。pitting の境界線は、基準にとって電流密度に無関係に描かっているので、 $10^{-2} mA/cm^2$ と $1 mA/cm^2$ の両方を含めて考えればよい。corrosion 域の先端は、 $H_2SO_4/NaCl$ 系では $NaCl$ が濃くなると pH の大きい方向へ移動し、 $H_2SO_4/NaBr$ 系では $NaBr$ が濃くなつてもその移動ははつきりせず、 H_2SO_4/NaI 系では pH が小さい方向へ移動する。

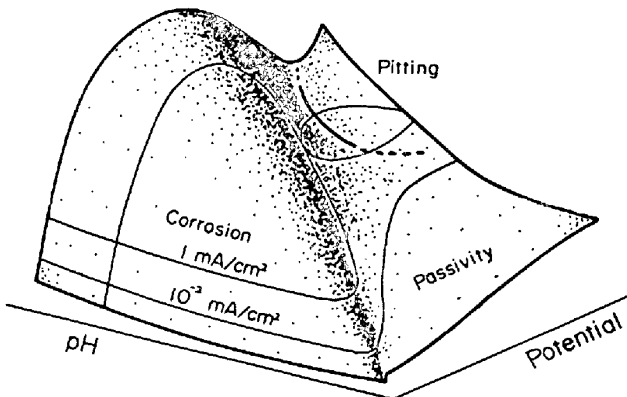
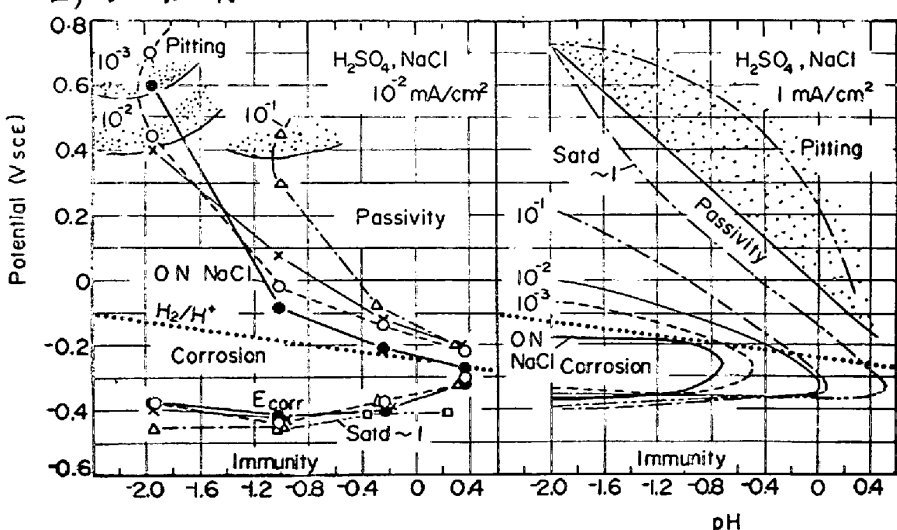


図1. 電位-pH-電流密度の関係

図2. $H_2SO_4/NaCl$ 環境での Pourbaix 図